

УДК 539.123

## ПРЕДЕЛЫ НА ПАРАМЕТРЫ НЕЙТРИННЫХ $\nu_e \rightarrow \nu_e$ -ОСЦИЛЛЯЦИЙ ИЗ ЭКСПЕРИМЕНТА НА «НЕЙТРИННОМ ДЕТЕКТОРЕ ИФВЭ–ОИЯИ»

Ю. А. Батусов<sup>a</sup>, А. А. Борисов<sup>b</sup>, С. А. Бунятов<sup>a</sup>, В. Ю. Валуев<sup>a</sup>,  
А. С. Вовенко<sup>b</sup>, В. Н. Горячев<sup>b</sup>, М. М. Кирсанов<sup>b</sup>, О. Л. Климов<sup>a</sup>,  
А. С. Кожин<sup>b</sup>, А. И. Кононов<sup>b</sup>, А. В. Красноперов<sup>a</sup>, А. И. Мухин<sup>b</sup>,  
Ю. А. Нефедов<sup>a,1</sup>, Б. А. Попов<sup>a</sup>, Ю. И. Саломатин<sup>b</sup>, В. И. Снятков<sup>a</sup>,  
В. В. Терещенко<sup>a</sup>

<sup>a</sup> Объединенный институт ядерных исследований, Дубна

<sup>b</sup> Институт физики высоких энергий, Протвино

Из анализа данных, полученных в эксперименте на «Нейтринном детекторе ИФВЭ–ОИЯИ», определены новые пределы на параметры нейтринных  $\nu_e \rightarrow \nu_e$ -осцилляций. На 90 %-м уровне достоверности пределы составляют:  $\Delta m^2 < 33 \text{ эВ}^2$  при максимальном смешивании,  $\sin^2 2\theta < 0,09$  в области наибольшей чувствительности эксперимента ( $\Delta m^2 \sim 150 \text{ эВ}^2$ ) и  $\sin^2 2\theta < 0,19$  при больших  $\Delta m^2$ . Полученные пределы на амплитуду нейтринных  $\nu_e \rightarrow \nu_e$ -осцилляций можно интерпретировать как ограничения на  $\sin^2 2\theta_{13}$ .

New limits on the  $\nu_e \rightarrow \nu_e$  neutrino oscillation parameters have been obtained from the analysis of data collected by the IHEP–JINR Neutrino Detector. At 90% CL these limits are:  $\Delta m^2 < 33 \text{ eV}^2$  at maximal mixing,  $\sin^2 2\theta < 0.09$  in the most sensitive region ( $\Delta m^2 \sim 150 \text{ eV}^2$ ) and  $\sin^2 2\theta < 0.19$  at large  $\Delta m^2$ . The limits on the amplitude of the  $\nu_e \rightarrow \nu_e$  neutrino oscillations can be interpreted as limits on  $\sin^2 2\theta_{13}$ .

### ВВЕДЕНИЕ

Эксперимент по поиску нейтринных  $\nu_e \rightarrow \nu_x$ -осцилляций был проведен в 1993–1994 гг. на установке «Нейтринный детектор ИФВЭ–ОИЯИ» в пучке нейтрино от ускорителя У-70 (ИФВЭ, Протвино). Предварительный анализ данных опубликован в работе [1]. В связи с возросшим интересом к проблеме осцилляций нейтрино мы заново проанализировали экспериментальные данные и получили ограничения на параметры осцилляций  $\nu_e \rightarrow \nu_e$ .

### ЭКСПЕРИМЕНТ

Детальная информация о формировании нейтринного пучка на ускорителе У-70 представлена в работе [2]. Протонный пучок с энергией 70 ГэВ направлялся на алюминиевую мишень длиной 60 см. Вторичные частицы, вылетающие из мишени, распадались

---

<sup>1</sup>E-mail: nefedov@nusun.jinr.ru

в конусообразном распадном канале длиной 12 м. Заряженные частицы замедлялись и останавливались в стальной защите, установленной за распадным каналом. Нейтрино, образованные в основном от распадов  $\pi$ - и  $K$ -мезонов, регистрировались в «Нейтринном детекторе ИФВЭ–ОИЯИ», который расположен за защитой. Расстояние от середины распадной базы до детектора составляло 60 м. Устройство для фокусировки вторичных частиц в данном эксперименте не использовалось. Это объясняется тем, что применение фокусирующего устройства снижает долю электронных нейтрино по отношению к мюонным нейтрино, что приводит к увеличению фона и к ухудшению чувствительности нашего эксперимента. Использование короткой распадной базы (12 м) позволило повысить чувствительность эксперимента за счет увеличения относительного содержания электронных нейтрино в нейтринном пучке.

За время двух сеансов набора данных в 1993 и 1994 гг. на мишень было сброшено  $2,2 \cdot 10^{18}$  протонов.

«Нейтринный детектор ИФВЭ–ОИЯИ» представляет собой калориметрический детектор с электронным съемом информации. Детальное описание экспериментальной установки представлено в статье [3].

### ПОИСК $\nu_e \rightarrow \nu_e$ -ОСЦИЛЛЯЦИЙ

Существует два подхода к поиску нейтринных осцилляций. В эксклюзивных экспериментах (по «возникновению») в пучке нейтрино одного типа ищут появление нейтрино другого типа. В инклузивной постановке (по «исчезновению») регистрируют взаимодействия нейтрино того же типа. В данном эксперименте использовалась инклузивная постановка. Для этого в детекторе регистрировались взаимодействия электронных нейтрино по каналу заряженного тока  $\nu_e N \rightarrow e^- X$  ( $\nu_e CC$ -взаимодействия)<sup>1</sup> и их число сравнивалось с расчетным, ожидаемым числом таких событий. Если число  $\nu_e CC$ -взаимодействий оказывается меньше ожидаемого, это может быть интерпретировано как переход электронных нейтрино в какой-либо другой тип нейтрино  $\nu_x$  ( $\nu_\mu$ ,  $\nu_\tau$  или «стерильное» нейтрино).

Вероятность нейтринных  $\nu_e \rightarrow \nu_e$ -осцилляций (в упрощенном предположении, что электронное нейтрино есть суперпозиция только двух собственных массовых состояний) описывается формулой (см., например, [4]):

$$P_{\nu_e \rightarrow \nu_e} = 1 - \sin^2 2\theta \sin^2 \left( 1,27 \Delta m^2 \frac{L_0}{E_\nu} \right), \quad (1)$$

где  $L_0$  — расстояние от точки образования нейтрино до вершины взаимодействия (м);  $E_\nu$  — энергия нейтрино (МэВ);  $\sin^2 2\theta$  — амплитуда осцилляций, а  $\Delta m^2$  — модуль разности квадратов масс двух собственных массовых состояний (эВ<sup>2</sup>).

Малая протяженность распадного канала позволяет считать, что нейтрино образуются в нем равновероятно по длине и результирующее выражение для вероятности осцилляций получается усреднением формулы (1) по длине распадного канала. Дополнительную

---

<sup>1</sup>Ливни от электронов и позитронов выглядят в детекторе одинаково. Поэтому, в дальнейшем, термин  $\nu_e CC$ -взаимодействие относится к взаимодействию как электронных нейтрино, так и антинейтрино.

информацию о параметрах осцилляций можно получить, изучая распределение событий по величине  $L/E_\nu$ , где  $L$  — расстояние от середины распадного канала до точки взаимодействия нейтрино.

В случае, если осцилляции не обнаружены, целью анализа экспериментальных данных является определение области исключенных значений параметров  $\sin^2 2\theta$  и  $\Delta m^2$  на 90 %-м уровне достоверности.

### РАСЧЕТ СПЕКТРОВ НЕЙТРИНО

Для поиска нейтринных осцилляций необходимо хорошее знание спектров налетающих нейтрино. Расчет нейтринных спектров был выполнен с помощью пакета программ [2] на основе библиотеки GEANT [5] версии 3.15. При моделировании протон-ядерных взаимодействий выходы вторичных частиц корректировались с использованием инклюзивных спектров  $\pi$ - и  $K$ -мезонов, измеренных при энергии налетающих протонов  $E_p = 67$  ГэВ [6]. Была учтена сложная геометрия нейтринного канала. Полученные спектры нейтрино приведены на рис. 1.

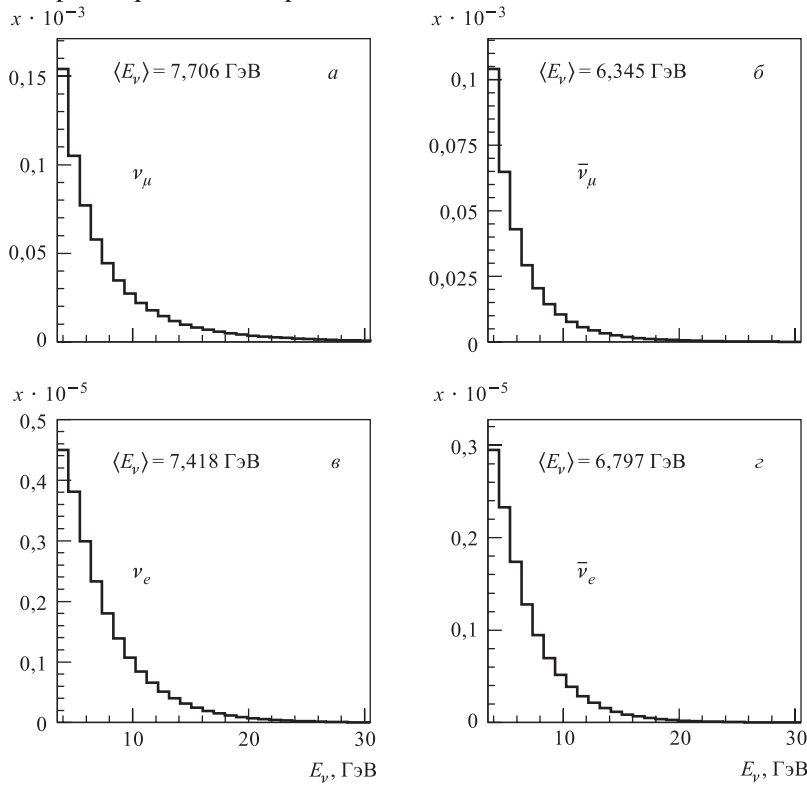


Рис. 1. Расчетные спектры мюонных и электронных нейтрино и антинейтрино. Потоки нормированы на один сброшенный на мишень протон и соответствуют поперечному сечению  $260 \times 260$  см на середине длины «Нейтринного детектора»

Неопределенность в знании спектров нейтрино является одним из ключевых факторов, определяющих точность полученных результатов при поиске  $\nu_e \rightarrow \nu_e$ -осцилляций. Оценка этой неопределенности включает две основные составляющие: точность предсказания  $K/\pi$ -отношения в спектре вторичных частиц и точность расчета выходов  $K_L^0$ -мезонов, данные о рождении которых при  $E_p \sim 70$  ГэВ практически отсутствуют.

Точность полученных спектров электронных нейтрино составляет 10–12 % при энергии нейтрино  $4 < E_\nu < 10$  ГэВ и 4–5 % в интервале энергий  $10 < E_\nu < 30$  ГэВ. Из-за большого вклада антинейтрино от распадов  $K_L^0$ -мезонов в спектр электронных антинейтрино точность предсказания их спектра ухудшается:  $\sim 20\%$  для  $4 < E_\nu < 10$  ГэВ и  $\sim 10\%$  в интервале энергий  $10 < E_\nu < 30$  ГэВ.

## ВЫДЕЛЕНИЕ СОБЫТИЙ

Идентификация  $\nu_e CC$ -взаимодействий в «Нейтринном детекторе» основана на выделении узких электромагнитных ливней с последующим восстановлением кинематики события. Ширина электромагнитного ливня составляет  $\sim 15$  см и определяется, в основном, координатным разрешением жидкостных сцинтиляционных счетчиков, в то время как ширина адронного ливня составляет несколько десятков сантиметров ( $\sim 60$  см). При выделении изолированного электромагнитного ливня эффективность разделения адронных и электромагнитных ливней  $\varepsilon_\pi/\varepsilon_e$  составляет  $4,7 \cdot 10^{-2}$  при 90 %-й эффективности идентификации электронов  $\varepsilon_e$  [3]. В случае выделения глубоконеупругих  $\nu_e$ -взаимодействий электромагнитный ливень от лидирующего электрона может перекрываться с адронным ливнем, и выделение таких событий затруднено [7].

При изучении эффективности выделения  $\nu_e CC$ -взаимодействий для моделирования нейтринных взаимодействий использовалась программа CATAS [8]. Моделирование показало, что основным источником фоновых событий являются взаимодействия  $\nu_\mu$  по каналу нейтрального тока (NC) и  $\nu_\mu CC$ -взаимодействия с неидентифицированным мюоном, в которых распад  $\pi^0$  имитирует сигнал от лидирующего электрона. Использование ряда кинематических критерий (см. [9]) позволило уменьшить величину фона до значения  $(1,6 \pm 0,1)\%$  в расчете на одно  $\nu_\mu CC$ -взаимодействие. При этом полная эффективность выделения  $\nu_e CC$ -взаимодействий составила  $(22 \pm 1)\%$ .

## РЕЗУЛЬТАТЫ АНАЛИЗА

В результате обработки экспериментальных данных было выделено 695 кандидатов на взаимодействия электронных нейтрино. На рис. 2 приведено распределение этих событий в зависимости от восстановленной энергии нейтрино  $E_{vis}$ , которая определяется как величина полного видимого энерговыделения в детекторе. На рисунке также показаны результаты моделирования  $\nu_e CC$ -взаимодействий с учетом вклада фоновых событий (заштрихованная область). Распределение смоделированных событий отнормировано на полное число сброшенных на мишень протонов —  $2,2 \cdot 10^{18}$ . Расчетные числа событий в отсутствие осцилляций составили 359,9  $\nu_e CC$ -взаимодействия и 300,4 фоновых события. Из рис. 2 видно, что экспериментальное распределение находится в согласии с ожидаемым в отсутствие осцилляций.

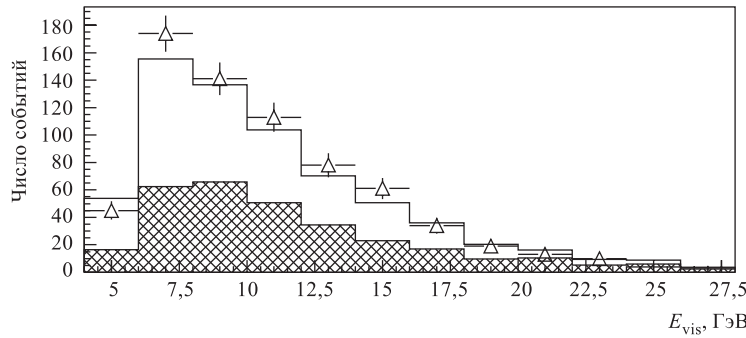


Рис. 2. Экспериментальные (точки с ошибками) и полученные моделированием (гистограмма) распределения восстановленной энергии электронных нейтрино. Заштрихованная область — оценка вклада фоновых событий от  $\nu_\mu NC$ - и  $\nu_\mu CC$ -взаимодействий с неидентифицированным мюоном

Дальнейший анализ данных выполнен с использованием распределения по величине  $L/E_{\text{vis}}$ . На рис. 3 показаны распределения этой величины для экспериментальных данных и для смоделированных событий в случае отсутствия осцилляций, а также отношение этих распределений.

Для оценки параметров осцилляций нейтрино используется  $\chi^2$ -критерий:

$$\chi^2 = \sum_{ij} (D_i - M_i(\Delta m^2, \sin^2 2\theta)) V_{ij}^{-1} (D_j - M_j(\Delta m^2, \sin^2 2\theta)), \quad (2)$$

где  $D_i$  — экспериментально измеренное число событий в  $i$ -м канале распределения;  $M_i$  — число событий, полученных в результате моделирования с параметрами осцилляций  $\Delta m^2$  и  $\sin^2 2\theta$ ;  $V_{ij}$  — ковариационная матрица, включающая в себя как статистическую ошибку, связанную с числом наблюдаемых событий, так и систематические неопределенности.

Матрица  $V_{ij}$ , используемая в выражении (2), не зависит от параметров осцилляций и строится как сумма ковариационных матриц от различных источников ошибок. Для статистической ошибки эта матрица является диагональной с элементами, равными квадрату стандартной ошибки в каждом канале гистограммы. Ошибки, связанные с систематическими неопределенностями, делятся на несколько категорий:

- Погрешность в определении эффективности отбора  $\nu_e CC$ -взаимодействий: 5 %.
- Погрешность в предсказании фона от распада  $\pi^0$ -мезонов: 6 %.
- Неопределенности в спектрах электронных нейтрино и антинейтрино. В отличие от предыдущих ошибок они зависят от энергии нейтрино:

	$E_\nu < 10 \text{ ГэВ}$	$E_\nu > 10 \text{ ГэВ}$
$\nu_e$	10 %	5 %
$\bar{\nu}_e$	20 %	10 %

Ковариационная матрица, описывающая какую-либо из указанных выше неопределенностей, строится таким образом, что по диагонали располагаются квадраты ошибок, а вне

диагонали элементы таковы, что корреляция между любой парой элементов составляет 100 %:  $V_{ij} = \sqrt{V_{ii}} \cdot \sqrt{V_{jj}}$ .

Как видно из рис. 3, данные хорошо согласуются с гипотезой отсутствия осцилляций: для выбранных восьми интервалов в распределении по  $L/E_{\text{vis}}$  величина  $\chi^2_{\text{data}} = 11,3$  на восемь степеней свободы. Значения параметров осцилляций, при которых достигается наименьший  $\chi^2$  ( $\chi^2_{\min} = 11,2$  на шесть степеней свободы):  $\Delta m^2 = 12 \text{ эВ}^2$  и  $\sin^2 2\theta = 1$ . Близкие значения  $\chi^2_{\text{data}}$  и  $\chi^2_{\min}$  указывают на хорошую совместимость экспериментальных данных с гипотезой отсутствия осцилляций.

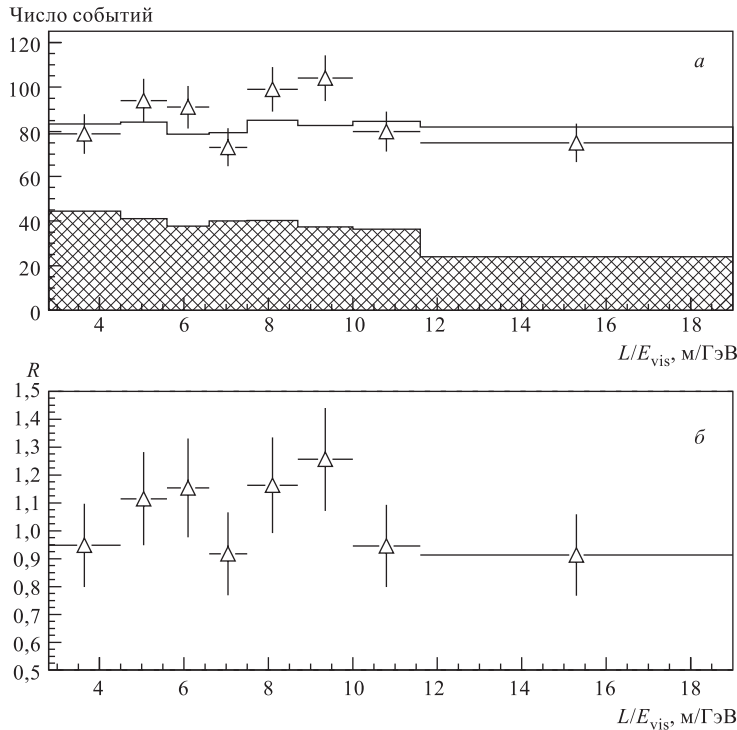


Рис. 3. а) Распределение экспериментальных (точки с ошибками) и смоделированных (гистограмма) событий по переменной  $L/E_{\text{vis}}$ ; заштрихованная область — оценка вклада от фоновых событий. б) Отношение данных к предсказанию ( $R$ ); показана только статистическая ошибка

## ПРЕДЕЛЫ НА ПАРАМЕТРЫ ОСЦИЛЛЯЦИЙ

Для вычисления области исключенных параметров  $\Delta m^2$  и  $\sin^2 2\theta$  используется так называемый метод «raster scan», описание которого содержится, например, в работе [10]. Для 90 %-го уровня достоверности пределы показаны на рис. 4. В области наибольшей чувствительности эксперимента ( $\Delta m^2 \sim 150 \text{ эВ}^2$ ) предел на параметр  $\sin^2 2\theta$  составляет

0,09, тогда как для больших  $\Delta m^2$  он равен 0,19. Здесь же приведена чувствительность эксперимента, полученная в предположении, что экспериментальные данные абсолютно

точно совпадают с моделированными событиями. Ограничения, полученные в эксперименте, хорошо согласуются с чувствительностью в области малых  $\Delta m^2$  и становятся более строгими для больших  $\Delta m^2$ . Такое поведение объясняется тем, что экспериментальные точки (рис. 3) лежат несколько выше предсказанных методом Монте-Карло. Однако наблюдаемое отклонение вполне укладывается в рамки статистических флюктуаций.

Результаты эксперимента не подтвердили предположения о существовании осцилляций  $\nu_e \rightarrow \nu_x$  с параметрами  $\Delta m^2 = (377 \pm 27)$  эВ<sup>2</sup> и  $\sin^2 2\theta = 0,48 \pm 0,10$  (см. рис. 5), указание на возможное существование которых было получено в результате анализа данных эксперимента по полному поглощению протонного пучка в ЦЕРН [11].

В предположении справедливости иерархии масс нейтрино ( $m_1 \ll m_2 \ll m_3$ ) полученные ограничения на амплитуду нейтринных осцилляций можно интерпретировать как ограничения на  $\sin^2 2\theta_{13}$ . Действительно, в случае трех типов нейтрино и в предположении  $\Delta m_{12}^2 \ll \Delta m_{23}^2 \approx \Delta m_{13}^2$  формула для вероятности перехода  $\nu_e \rightarrow \nu_e$  выглядит следующим образом [12]:

$$P_{\nu_e \rightarrow \nu_e} = 1 - \sin^2(2\theta_{13}) \sin^2(1,27\Delta m_{23}^2 L/E),$$

где  $\sin^2(2\theta_{13}) = 4|U_{e3}|^2(1 - |U_{e3}|^2)$ ;  $U_{e3}$  — элемент матрицы смешивания Понтекорво–Маки–Накагава–Саката [13].

Для сравнения предел на  $\sin^2 2\theta_{13}$  на 90 %-м уровне достоверности из анализа переходов  $\bar{\nu}_e \rightarrow \bar{\nu}_e$  в реакторном эксперименте CHOOZ при корректном учете систематических ошибок [14] составляет 0,17 при больших  $\Delta m^2$ . Другой реакторный эксперимент Palo Verde также получил предел на  $\sin^2 2\theta_{13}$ , равный 0,17 при больших  $\Delta m^2$  [15]. Следует отметить, что лучший предел на  $\sin^2 2\theta_{13}$  при больших  $\Delta m^2$  в пучках  $\nu_e$  был получен в эксперименте NOMAD на ускорителе SPS (ЦЕРН) из анализа вероятности перехода  $\nu_e \rightarrow \nu_\tau$  [16]. В случае трех типов нейтрино и в предположении  $\Delta m_{12}^2 \rightarrow 0$  [12]:

$$P_{\nu_e \rightarrow \nu_\tau} = \sin^2(2\theta_{13}) \cos^2 \theta_{23} \sin^2(1,27\Delta m_{23}^2 L/E).$$

Из экспериментов с атмосферными нейтрино следует, что  $\theta_{23} \approx 45^\circ$  [17]. Коллаборация NOMAD установила предел на вероятность перехода  $\nu_e \rightarrow \nu_\tau$  на 90 %-м уровне достоверности  $P_{\nu_e \rightarrow \nu_\tau} < 0,74 \cdot 10^{-2}$  [16], что соответствует пределу на  $\sin^2 2\theta_{13} < 0,03$  при больших  $\Delta m^2$ .

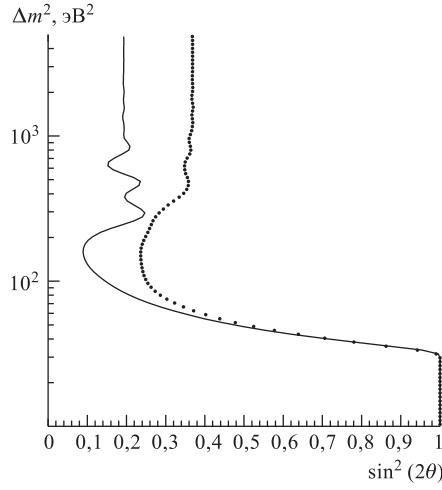


Рис. 4. Чувствительность эксперимента (показана точками) и область параметров осцилляций  $\nu_e \rightarrow \nu_e$  (справа от непрерывной кривой), исключенная на 90 %-м уровне достоверности

## ЗАКЛЮЧЕНИЕ

Эксперимент по поиску  $\nu_e \rightarrow \nu_e$ -осцилляций был выполнен на установке «Нейтринный детектор ИФВЭ–ОИЯИ» в пучке нейтрино от ускорителя У-70. Использование короткой распадной базы позволило увеличить долю электронных нейтрино в нейтринном пучке и повысить чувствительность эксперимента.

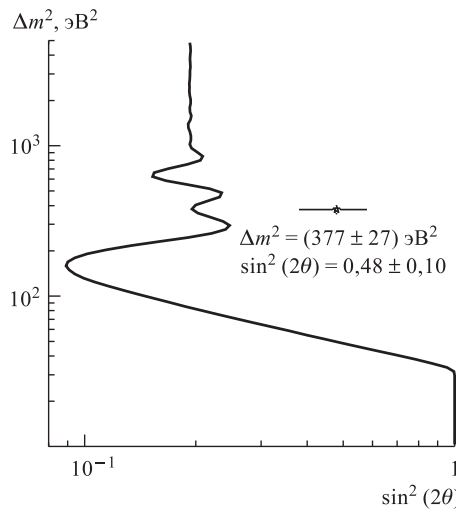


Рис. 5. Область параметров осцилляций  $\nu_e \rightarrow \nu_e$  (справа от кривой), исключенная на 90 %-м уровне достоверности. Точка с ошибкой соответствует возможным значениям параметров нейтринных осцилляций из работы [11]

В представленной работе выполнен новый анализ экспериментальных данных. При этом в анализе были более полно учтены систематические неопределенности, использован новый метод вычисления доверительной области и получены пределы на параметры перехода  $\nu_e \rightarrow \nu_e$  в предположении смешивания трех типов нейтрино. Пределы на амплитуду нейтринных  $\nu_e \rightarrow \nu_e$ -осцилляций (рис. 5) можно интерпретировать как ограничения на  $\sin^2 2\theta_{13}$ : на 90 %-м уровне достоверности  $\sin^2 2\theta_{13} < 0,09$  в области наибольшей чувствительности эксперимента ( $\Delta m^2 \sim 150 \text{ эB}^2$ ) и  $\sin^2 2\theta_{13} < 0,19$  при больших  $\Delta m^2$  ( $\Delta m^2 > 300 \text{ эB}^2$ ).

## СПИСОК ЛИТЕРАТУРЫ

1. Borisov A. A. et al. // Phys. Lett. B. 1996. V. 369. P. 39.
2. Вовенко А. С. и др. ИФВЭ 95-94. Протвино, 1995.
3. Барабаш Л. С. и др. // ПТЭ. 2003. Т. 46, вып. 3. С. 20.
4. Kayser B. // Phys. Rev. D. 2002. V. 66. P. 010001-392;  
Groom D. E. // Ibid. P. 010001-399.

5. GEANT: Detector Description and Simulation Tool. CERN Programming Library Long Writeup W5013.
6. Божко Н.И. и др. // ЯФ. 1980. Т. 31. С. 1246; 1494.
7. Кирсанов М.М. ИФВЭ 92-33. Протвино, 1992.
8. Кравцов В.И., Спиридонов А.А., Шестерманов К.Е. // Материалы VIII Рабочего совещ. по «Нейтринному детектору ИФВЭ–ОИЯИ». Дубна, 1988. С. 109;  
Blumlein J. // Там же. С. 115.
9. Вовенко А.С. и др. // Там же. С. 69.
10. Feldman G. J., Cousins R. D. // Phys. Rev. D. 1998. V. 57. P. 3873.
11. Conforto G. // Nuovo Cim. 1990. V. 103. P. 751.
12. Apollonio M. et al. CERN-TH/2002-208. hep-ph/0210192;  
Alberico W.M., Bilenky S.M. hep-ph/0306239.
13. Понтекорво Б.М. // ЖЭТФ. 1957. Т. 33. С. 549;  
Понтекорво Б.М. // ЖЭТФ. 1958. Т. 34. С. 247;  
Понтекорво Б.М. // ЖЭТФ. 1967. Т. 53. С. 1717;  
Gribov V. N., Pontecorvo B. // Phys. Lett. B. 1969. V. 28. P. 493;  
Maki Z., Nakagawa M., Sakata S. // Prog. Theor. Phys. 1962. V. 28. P. 870.
14. Apollonio M. et al. (CHOOZ Collab.). hep-ex/0301017.
15. Boehm F. et al. (Palo Verde Collab.) // Phys. Rev. D. 2001. V. 64 P. 112001.
16. Astier P. et al. (NOMAD Collab.) // Nucl. Phys. B. 2001. V. 611. P. 3;  
Astier P. et al. (NOMAD Collab.) // Phys. Lett. B. 2000. V. 471. P. 406.
17. Fukuda Y. et al. (Super-Kamiokande Collab.) // Phys. Rev. Lett. 1999. V. 82 P. 2644;  
Hayato Y. // Proc. of the Intern. Europhysics Conf. on High Energy Physics, Aachen, Germany, July 2003.

Получено 26 декабря 2003 г.